

Rappels de la dernière fois  $S = \mathbb{F}_p$ -schéma

$\mathcal{D} =$  catégorie des  $S$ -schémas en groupes finis localement libres  
commutatifs annulés par  $V$

$\mathcal{E} =$  catégorie des couples  $(\mathcal{R}, \psi)$  où  $\mathcal{R} = \mathcal{O}_S$ -module localement  
libre de rang fini et  $\psi: \mathcal{R} \rightarrow \underbrace{\mathcal{R}^{(p)}}_{\text{Frob}_S^* \mathcal{R}}$

2 foncteurs  $\mathcal{D} \rightarrow \mathcal{E}$   
 $G \mapsto (\omega_G, \psi_G)$  où  $\psi_G = \text{Frob}_S^* : \omega_G \rightarrow \omega_G^{(p)}$  avec  $\text{Frob}_S : G \rightarrow G^{(p)}$

$\mathcal{E} \rightarrow \mathcal{D}$   
 $(\mathcal{R}, \psi) \mapsto \text{ker}(\mathcal{R} \xrightarrow{\text{Frob}_S^*} \mathcal{R}^{(p)}) =: G(\mathcal{R}, \psi)$

1 flèche d'adjonction:  $\alpha_G : G \rightarrow \omega_G$  induit  $\alpha_G : G \rightarrow G(\omega_G, \psi_G)$

\*  $G(\mathcal{R}, \psi) \hookrightarrow \mathcal{R} = \text{Spec}(\text{Sym}_{\mathcal{O}_S} \mathcal{R}^V)$

On calcule facilement que la cogèbre de  $G(\mathcal{R}, \psi)$  est donnée par  $\bigoplus_{i=0}^{p-1} \text{Sym}^i \mathcal{R}$

Comme  $\mathcal{O}_S$ -module et  $\forall k \in \mathcal{R} = \text{Sym}^1 \mathcal{R}$ ,  $\Delta k = k \otimes 1 + 1 \otimes k$

$\forall k \in \text{Sym}^i \mathcal{R}, \forall y \in \text{Sym}^j \mathcal{R}, \text{ si } i+j < p \text{ alors } \Delta(ky) = \Delta(k)\Delta(y)$

On calcule aussi que  $\omega_{G(\mathcal{R}, \psi)} = \mathcal{R}$  naturellement.

Th. Les deux foncteurs précédents induisent des équivalences inverses de catégories et  $G \xrightarrow{\sim} G(\omega_{G^D}, \psi_G)$ .

dem. Commençons par montrer que si  $G_1, G_2 \in \mathcal{D}$

$$\text{Hom}(G_1, G_2) \hookrightarrow \text{Hom}_{G_3}(\omega_{G_1^D}, \omega_{G_2^D})$$

est injectif i.e. le foncteur  $\mathcal{D} \rightarrow \mathcal{E}$  est fidèle.

Il faut montrer que si  $G_1$  et  $G_2$  sont annulés par  $F$  alors

$$\text{Hom}(G_1, G_2) \hookrightarrow \text{Hom}_{G_3}(\omega_{G_1}, \omega_{G_2}) = \text{Hom}(\omega_{G_1}^V, \omega_{G_2}^V)$$

Or si  $G$  est annulé par  $F$  soit localement /  $\mathcal{S}^1$   $D_1, \dots, D_d$  une base d'op. diff. d'ordre 1 sur  $G_0$  qui est une base de  $\omega_{G_0}^V$ .

Ainsi,  $(D_1^{\alpha_1} \dots D_d^{\alpha_d})_{0 \leq \alpha_i < 1}$  est une base de  $\text{Hom}_{G_3}(G_1, G_2)$

(cf. structure des schémas en groupes annulés par  $F$ )

Tout morphisme de schémas en groupes induit une application sur les opérateurs diff. invariants compatible à la composition de tels op. diff.

Donc, si un morphisme entre groupes annulés par  $F$  est trivial sur les op. diff. d'ordre 1 il est trivial.

Rem. En caractéristique 0 le même argument montre que si  $f: G_1 \rightarrow G_2$  entre

S-schémas en groupes lisses est ~~trivial~~ et tel que  $\text{Lie } f = 0$  alors  $\hat{f}: \hat{G}_1 \rightarrow \hat{G}_2$

est nul.

↑ ↑  
complète formal  
log de e

\*  $G \xrightarrow{\alpha_G} G(\omega_{G^D}, \psi_G)$  est un isomorphisme si et seulement si c'est un monomorphisme (i.e. immersion fermée) car  $|G| = |G(\omega_{G^D}, \psi_G)|$ .

Il suffit donc de montrer que  $\alpha_G: G \rightarrow \omega_{G^D}$  est un monomorphisme.

$$\begin{array}{ccc} \text{Hom}(G^D, \mu_r) & \cong & \text{Hom}(\omega_{\mu_r}, \omega_{G^D}) \\ \downarrow & & \\ f & \mapsto & f_*: \omega_{\mu_r} \rightarrow \omega_{G^D} \end{array}$$

C'est donc un monomorphisme d'après la propriété précédente.  $\square$

Ex.  $G$  étale  $\Leftrightarrow \psi_G$  isomorphisme

groupes étales finis  
commutatifs annulés par  $r$

$$\cong \{(\pi, \psi) \mid \psi^r = \text{id}\}$$

systèmes locaux  $\leftrightarrow$  cristaux annulés.  
étales

Classification de Dieudonné des schémas en groupes finis/corps parfait

$k_0 =$  corps de caractéristique  $p > 0$

$\mathcal{C} =$  catégorie abélienne des  $k_0$ -schémas en groupes finis (commutatifs) d'ordre une puissance de  $p$ .  
les seuls intéressants.

$\mathcal{C}$  est artinienne et noethérienne (i.e. dans  $\mathcal{C}$  tout objet est de longueur finie (cela résulte de la multiplicativité de la fonction  $\mathcal{C} \rightarrow \mathbb{N}^{\times}$  + le fait que si  $G_1 \subset G_2$  et  $|G_1| = |G_2|$  alors  $G_1 = G_2$ ))

Objets simples: Soit  $G \in \mathcal{C}$  un objet simple. Alors,

$$F_G = 0 \text{ ou } F_G \text{ est un is.}$$

$$\Downarrow$$

$$G \text{ étale}$$

$$V_G = 0 \text{ ou } V_G \text{ is.}$$

$$\Downarrow$$

$$G \text{ étale}$$

De plus, d'après le théor. de classification précédent des schémas en groupes finis annihilés par  $V$ ,  $F_G = V_G = 0 \Leftrightarrow G = \mathcal{O}_{\mathbb{F}_p}^{\oplus \text{finie}}$  et donc  $G = \mathcal{O}_{\mathbb{F}_p}$  si  $G$  est simple.

Def. Schéma en groupes fini loc. libre de type multiplicatif = loc. isomorphe pour la topologie étale à  $\bigoplus_{i \in I} \mathbb{F}_p^{m_i}$

$$\Downarrow$$

$$G \text{ étale}$$

Donc, objets simples = { groupes étales simples, groupes de type mult.-simples,  $\mathcal{O}_{\mathbb{F}_p}$  }

en bijection avec les classes d'équivalence de représentations irréductibles

$$\text{Gal}(\bar{k}^s/k) \rightarrow \text{GL}_m(\mathbb{F}_p), m \in \mathbb{N}.$$

Lorsque  $\mathfrak{b}$  est alg. cls =  $\{ \mathbb{Z}/p\mathbb{Z}, \mu_p, \alpha_p \}$   
↖ ↗  
Cartier      Cartier  
divers      auto-dual

- \* Si  $G \in \mathcal{C}(\mathfrak{b})$ ,  $G$  étale  $\Leftrightarrow \mathcal{JH}(G_{\mathfrak{b}}) = \{ \mathbb{Z}/p\mathbb{Z} \}$
- $G$  de type mult.  $\Leftrightarrow \mathcal{JH}(G_{\mathfrak{b}}) = \{ \mu_p \}$
- $G$  bicannone  $\Leftrightarrow \mathcal{JH}(G_{\mathfrak{b}}) = \{ \alpha_p \}$

i.e. extensions successives de tels objets

↓  
i.e.  $G$  et  $G^D$  sont connexes

\* Lorsque  $\mathfrak{b}$  est parfait tout  $G \in \mathcal{C}$  s'écrit canoniquement sous la forme

$$G = G^{ét} \oplus G^{mult} \oplus G^{bi}$$

$$\mathcal{C} = e^{ét} \oplus e^{mult} \oplus e^{bi}$$

Def.  $G$  est unipotent si  $V_G$  est nilpotent sur  $G$ .

D'après le théor. de classification précédent des  $G \in \mathcal{C}$  annulés par  $V$  ceux-ci se plongent dans  $\bigoplus_{finie} G_a$ . De plus  $V_{G_a} = 0$  donc,

$G$  unipotent  $\Leftrightarrow$  possède une filtration  $0 = G_0 \subsetneq \dots \subsetneq G_n = G$

t.q.  $\forall i, G_i/G_{i-1} \hookrightarrow G_a^{\oplus finie}$



$\mathcal{JH}(G_{\mathfrak{b}}) \subset \{ \mathbb{Z}/p\mathbb{Z}, \alpha_p \}$

Idem avec  $G_i/G_{i-1} \hookrightarrow G_a$

# Corrécteurs de Witt unipotents

$k =$  Corps parfait de car.  $p > 0$

\*  $W_m =$  groupe des vecteurs de Witt tronqués de longueur  $m$ .

$=$  schéma en groupes  $\text{lett}/k$

$W_m = \mathbb{A}^m$  Comme  $k$ -schéma

$$= \{ [x_0, \dots, x_{m-1}] \}$$

$$\boxed{W_1 = \mathbb{G}_a}$$

$W_m^{(p)} = W_m$  car  $W_m = \mathbb{A}^m$  défini /  $\mathbb{F}_p$

$F, V: W_m \rightarrow W_m$  sont définis par

$$V[x_0, \dots, x_{m-1}] = [0, x_0, \dots, x_{m-2}]$$

$$F[x_0, \dots, x_{m-1}] = [x_0^p, \dots, x_{m-1}^p]$$

$$\boxed{FV = VF = p}$$

\* Pour  $1 \leq m < m$  il y a une suite exacte (de préfaisceaux)

$$0 \rightarrow W_m \rightarrow W_m \rightarrow W_{m-n} \rightarrow 0$$

$$[x_0, \dots, x_{m-1}] \mapsto [0, \dots, 0, x_0, \dots, x_{m-1}]$$

$$[x_0, \dots, x_{m-1}] \mapsto [x_0, \dots, x_{m-n-1}]$$

Si on écrit  $W_m = W/\sqrt{m}W$  ce n'est rien d'autre que la suite exacte

$$0 \rightarrow W/\sqrt{m}W \xrightarrow{\sqrt{m-n}} W/\sqrt{m}W \rightarrow W/\sqrt{m-n}W \rightarrow 0$$

\* En particulier, prenant  $n=1$  on voit que  $W_n$  est une extension successive de  $G_a$ .

Def.  $CW^u = \lim_{n \geq 1} W_n$

Covecteurs de Witt unipotents  
foncteur  $fff = \text{ind-schéma en groupes ind-lisse.}$

$CW^u = \{ [ \dots, k_i, \dots, k_{-2}, k_{-1}, k_0 ] / k_i = 0 \text{ pour } i \leq 0 \}$   
↑    ↑  
F    V  
séries infinies à gauche

$W_n \hookrightarrow CW^u$   
 $[x_0, \dots, x_{n-1}] \mapsto [-1, \dots, 0, x_0, \dots, x_{n-1}]$

$F[x_i]_{i \leq 0} = [x_i^{\uparrow}]_{i \leq 0}$   
 $V[x_i]_{i \leq 0} = [x_{i-1}]_{i \leq 0}$  (décalage vers la droite)

$CW^u = \text{foncteur } b\text{-algèbres} \rightarrow W(b)\text{-modules} + \text{action } \sigma\text{-linéaire de } F$   
 $+ \text{action } \sigma^{-1}\text{-linéaire de } V$   
ou  $\sigma = F$  de  $W(b)$

$CW^u(b) = W(b)[\frac{1}{t}] / W(b)$

Idée:  $CW^u = \text{"module dualisant"}$

Soit  $\mathcal{C}^u = b\text{-schémas en groupes finis (commutatifs) unipotents} = \text{catégorie abélienne}$

Def:  $G \in \mathcal{C}^u$  on pose  $\mathbb{D}(G) = \text{Ker}(G, CW^u) = \text{Ker}(G, W_m)$  pour  $m \gg 0$

$\begin{array}{c} \uparrow \\ \text{Car } G \text{ est annulé par } \\ V^m \text{ pour } m \gg 0 \\ \downarrow \\ \text{si } f: G \rightarrow CW^u, \text{ Im } f \subset \text{Ker } V^m \\ \text{''} \\ W_m \end{array}$

$\mathbb{D}(G) = W(b)$ -module de torsion (annulé par une puissance de  $p$ )

+  $F, V: \mathbb{D}(G) \rightarrow \mathbb{D}(G)$

$F, \sigma^{-1}$  linéaire,  $V, \sigma^{-1}$  linéaire

vérifiant  $FV = VF = p$  et  $V^m \mathbb{D}(G) = 0$  pour  $m \gg 0$ .

Concrètement, si  $G = \text{Spec}(A)$ ,  $\Delta: A \rightarrow A \otimes_{\mathbb{F}} A$  est la comultiplication

$$\left. \begin{aligned} \mathbb{D}(G) = \left\{ x \in CW^u(A) \mid \text{si } x = \sum_A [x_i]_{i \leq 0} \text{ alors} \right. \\ \left. \begin{aligned} [\Delta x_i]_{i \leq 0} &= [x_i \otimes 1]_{i \leq 0} + [1 \otimes x_i]_{i \leq 0} \\ &\text{dans } CW^u(A \otimes_{\mathbb{F}} A) \end{aligned} \right\} \end{aligned} \right\}$$

Def: Un module de Dieudonné est un  $W(b)$ -module de longueur finie

+ opérateurs  $G$  linéaire  $F$  et  $\sigma^{-1}$  linéaire  $V$  tels que  $FV = VF = p$ .

\* Il est dit nilpotent si  $V^m = 0$  pour  $m \gg 0$ .



Th. Le foncteur  $\mathbb{D}(-)$  induit une anti-équivalence de catégories entre la catégorie abélienne  $\mathcal{C}^u$  et celle des modules de Dendoures unipotents.

\* Un inverse est donné par  $(M, F, V) \mapsto \text{Hom}_{W(b), F, V}(M, CW^u)$

foncteur qui à la  $b$ -algèbre  $A$  associe  
 $\left\{ f \in \text{Hom}_{W(b)}(M, CW^u(A)) \mid \begin{array}{l} fF = Ff \\ fV = Vf \end{array} \right\}$

\* Rem. On connaît déjà en cas particulier de ce théorème, le cas des objets  $G \in \mathcal{C}^u$  annulés par  $V$ . En effet, si  $V_G = 0$  alors  $\text{Hom}(G, CW^u) = \text{Hom}(G, G_a)$

$$= CW_{G, D}^V \quad \begin{array}{l} \int F = \Psi_G^V \\ \int V = 0 \end{array}$$

$$\text{i.e. } \mathbb{D}(G) = \text{deul de } (CW_{G, D}^V, \Psi_G^V)$$

Si  $(\mathcal{R}, \Psi)$  est un  $b$ -an. de dim finie et  $\Psi: \mathcal{R} \rightarrow \mathcal{R}^{(p)}$  i.e.  $\Psi$  est un  $b$ - $\mathbb{Z}$ -module de  $\mathcal{R}$  dans lui-même alors  $(\mathcal{R}^V, \Psi^V) =$  module de Dendoures unipotent en posant  $V=0, F=\Psi^V$ .

$$\begin{aligned} \text{Hom}_{W(b), F, V}(\mathcal{R}^V, \Psi^V), CW^u &= \text{Hom}_{W(b), F}(\mathcal{R}^V, \Psi^V), G_a \\ &= \underbrace{(\mathcal{R} \otimes G_a)}_{\mathcal{R} \text{ comme faisceau } \mathbb{H}} \Psi \otimes \text{Id} = \text{Id} \otimes F = \ker \left( \mathcal{R} \xrightarrow{F-\Psi} \mathcal{R}^{(p)} \right) \end{aligned}$$

\* On peut étendre le théorème précédent à tous les schémas en groupes fibres commutatifs/ $b$

On peut le faire de façon ad hoc en utilisant  $\mathcal{C} = \mathcal{C}^u \oplus \mathcal{C}^{\text{mult}}$

et en classifiant les objets de  $\mathcal{C}^{\text{mult}}$  (facile).

On peut également utiliser les covecteurs de Witt définis par Fontaine

$$CW^u \subset CW$$

$$CW(A) = \left\{ [a_i]_{i \geq 0} / a_i \in A \text{ et } \exists N, \sum_{i \leq N} \lambda a_i \text{ est un idéal nilpotent} \right\}$$

$$D(G) = \text{Hom}(G, CW)$$

Abs,  $D: \mathcal{C} \rightarrow \left\{ \begin{array}{l} W(\mathbb{Z})\text{-modules de longueur finie } M \\ + F, V: M \rightarrow M, FV = VF = 1 \end{array} \right\}$

$\mathcal{C}^u \rightarrow$  ceux annihilés par une puissance de  $V$ .

$$\# \text{ Si } G \in \mathcal{C}, D(G^0) = \text{Hom}_{W(\mathbb{Z})}(D(G), W(\mathbb{Z})[\frac{1}{7}]/W(\mathbb{Z}))$$

$$\text{ou si } f: D(G) \rightarrow W(\mathbb{Z})/W(\mathbb{Z})$$

$$\left. \begin{array}{l} V \circ f = V \circ f \circ F \\ F \circ f = F \circ f \circ V \end{array} \right\}$$

$$\left. \begin{array}{l} V \circ f = V \circ f \circ F \\ F \circ f = F \circ f \circ V \end{array} \right\}$$

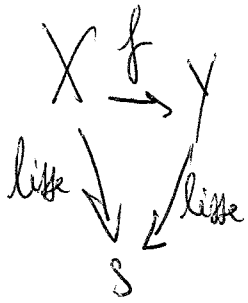
$\rightarrow$  utilise l'exponentielle d'Artin-Hasse  $\widehat{W} \rightarrow \widehat{G}_m$

$$0 \rightarrow \widehat{W} \xrightarrow{V - \text{Id}} \widehat{W} \rightarrow \widehat{G}_m \rightarrow 0$$

# Calcul différentiel symplectique

## Rappels sur le Calcul différentiel lisse.

$X/S$  lisse  $\Omega^1_{X/S} = \mathcal{O}_X$ -module localement libre de rang  $\dim(X/S)$ .

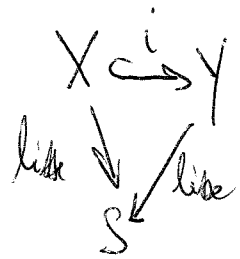


$f$  lisse  $\Rightarrow$  suite exacte de  $\mathcal{O}_X$ -modules localement libres de rang fini

$$0 \rightarrow f^* \Omega^1_{Y/S} \rightarrow \Omega^1_{X/S} \rightarrow \Omega^1_{X/Y} \rightarrow 0$$

$\uparrow$   
 application entre les fibres cotangentes de  $Y/S$  et  $X/S$   
 $\alpha \mapsto f^* \alpha$

$\underbrace{\hspace{10em}}$   
 fibre cotangente relative de la submersion  $X \rightarrow Y$ .

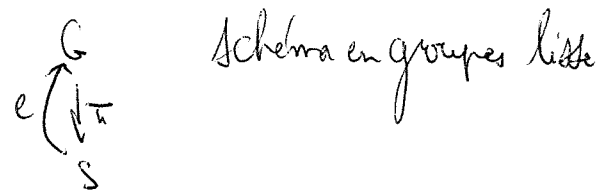


$i =$  immersion fermée d'idéal  $\mathcal{I} \subset \mathcal{O}_Y$   
 $X/S$  et  $Y/S$  lisses  $\Rightarrow i$  immersion régulière  
 $\Rightarrow \mathcal{I}/\mathcal{I}^2 = \mathcal{O}_X$ -module loc. libre de rg. fini

$$0 \rightarrow \mathcal{I}/\mathcal{I}^2 \rightarrow i^* \Omega^1_{Y/S} \rightarrow \Omega^1_{X/S} \rightarrow 0$$

$\underbrace{\hspace{2em}}$   
 fibre conormal

## Le Cas des schémas en groupes lisses :



$$\left\{ \begin{array}{l} \mathcal{R}_{G/S}^1 = \pi^* \omega_{G/S} \\ \omega_{G/S} = e^* \mathcal{R}_{G/S}^1 \\ \text{Lie } G = \omega_{G/S}^\vee \end{array} \right.$$

Si  $0 \rightarrow G_1 \rightarrow G_2 \xrightarrow{f} G_3 \rightarrow 0$

est une suite exacte de  $S$ -schémas en groupes lisses (au sens  $f$ )

alors,  $G_2$  étant un  $G_1$ -torsion au dessus de  $G_3$ ,  $f$  est lisse.  
 $G_1$  étant lisse/ $S$

Il y a donc une suite exacte associée au diagramme

$$\begin{array}{ccc} G_2 & \xrightarrow{f} & G_3 \\ & \searrow & \downarrow \\ & & S \end{array}$$

$$0 \rightarrow f^* \mathcal{R}_{G_3/S}^1 \rightarrow \mathcal{R}_{G_2/S}^1 \rightarrow \mathcal{R}_{G_2/G_3}^1 \rightarrow 0$$

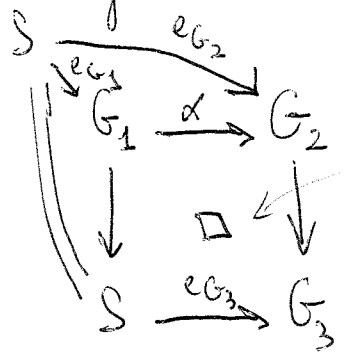
Si  $G_2 \downarrow \xrightarrow{e_{G_2}} S$ , appliquant  $e_{G_2}^*$  à la suite exacte précédente on obtient une suite exacte de  $G_3$ -modules loc. libres

$$0 \rightarrow e_{G_2}^* f^* \mathcal{R}_{G_3/S}^1 \rightarrow e_{G_2}^* \mathcal{R}_{G_2/S}^1 \rightarrow e_{G_2}^* \mathcal{R}_{G_2/G_3}^1 \rightarrow 0$$

$$\underbrace{f^* e_{G_2}^* \mathcal{R}_{G_3/S}^1}_{\omega_{G_3}} \quad \omega_{G_2}$$

$$e_{G_3}^* \mathcal{R}_{G_3/S}^1 = \omega_{G_3}$$

Il ya un diagramme



Carre cartésien  $\Rightarrow \mathcal{L}_{G_2/G_3}^1 = \mathcal{L}_{G_2/S}^1$

$$\Rightarrow e_{G_2}^* \mathcal{L}_{G_2/G_3}^1 = e_{G_1}^* \mathcal{L}_{G_1/S}^1 = \omega_{G_3/S}$$

J'ai une suite exacte de  $\mathcal{O}_3$ -modules loc. libres

$$0 \rightarrow \omega_{G_3} \rightarrow \omega_{G_2} \rightarrow \omega_{G_1} \rightarrow 0$$

qui induit une suite exacte d'algèbres de Lie en  $\mathcal{O}_2$ -mod. loc. libres

$$0 \rightarrow \text{Lie } \mathcal{O}_1 \rightarrow \text{Lie } \mathcal{O}_2 \rightarrow \text{Lie } \mathcal{O}_3 \rightarrow 0$$

Calcul diff. symplectique

Th (Illusie):  $\forall X/S$  symplectique il existe  $\mathbb{L}_{X/S} \in \mathbb{D}_{\text{perf}}^{[-1,0]}(\mathcal{O}_X)$

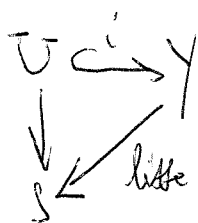
muni d'une augmentation  $\mathbb{L}_{X/S} \rightarrow \mathcal{L}_{X/S}^1$  induisant

$$H^0(\mathbb{L}_{X/S}) \xrightarrow{\sim} \mathcal{L}_{X/S}^1$$

tel que :

Complexes parfaits d'amplitude  $\in [-1,0]$   
 i.e. Complexes  $C \in \mathbb{D}^-(\mathcal{O}_X)$   
 tq. localement  $X$ ,  $C \simeq \begin{bmatrix} \mathcal{E}_1 & \rightarrow & \mathcal{E}_2 \\ & & -1 & +0 \end{bmatrix}$   
 où  $\mathcal{E}_1$  et  $\mathcal{E}_2$  sont des  $\mathcal{O}_X$ -modules localement libres.

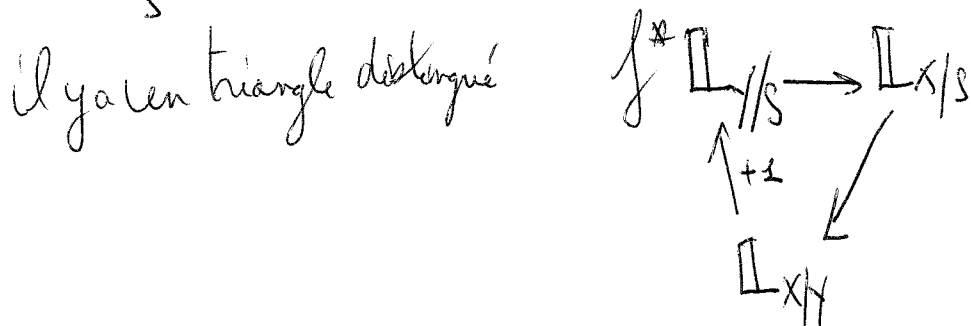
\* Si  $U$  est un ouvert de  $X$  muni d'une immersion régulière dans un



$S$ -schéma lisse  $Y$ ,  $\mathcal{I}$  = idéal de  $U$  dans  $Y$  alors

$$\mathbb{L}_{X/S|U} \simeq \left[ \begin{array}{ccc} \mathcal{I}/\mathcal{I}^2 & \rightarrow & i^* \mathcal{L}_{Y/S}^1 \\ -1 & & 0 \end{array} \right]$$

\* Si  $X \xrightarrow{f} Y$  avec  $f$  systématique  
 systématique  $\swarrow$   $\nwarrow$  systématique  
 $S$



\* Si  $T_0 \xrightarrow{f} X$   $T_0 \hookrightarrow T$  est une immersion fermée  
 $\downarrow$   $\swarrow$  systématique  $\downarrow$  systématique  
 $T \xrightarrow{g} S$  définie par un idéal de carré nul  $\mathcal{I} \subset \mathcal{O}_T$

Alors l'obstruction à compléter le diagramme

$$\in \text{Ext}_{\mathcal{O}_{T_0}}^1(f^* \mathbb{L}_{X/S}, \mathcal{I}) = H^1(T_0, f^* \mathbb{L}_{X/S}^v \otimes_{\mathcal{O}_{T_0}} \mathcal{I})$$

\*  $X/S$  symplectique est lisse  $\Leftrightarrow \mathbb{L}_{X/S} \rightarrow \mathcal{R}_{X/S}^1$  est un isomorphisme  
 (i.e.  $H^{-1}(\mathbb{L}_{X/S}) = 0$ ) et  $\mathcal{R}_{X/S}^1$  est localement libre  
 de rang fini

Application aux schémas en groupes plats de présentation finie

\* Si  $X$  est un  $S$ -schéma on peut former (Illusie)  $\mathbb{L}_{X/S} \in \mathcal{D}_{\text{qch}}(X, \mathcal{O}_X)$  qui  
 n'est pas parfait en général. Si de plus  $X/S$  est munie d'une action du  $S$ -schéma  
 en groupes  $G$  on peut former un complexe ~~de~~ cotangent équivariant  
 $\mathbb{L}_{X/S}^G$

dans la catégorie dérivée équivariante qui redonne  $\mathbb{L}_{X/S}$  muni de son action de  $G$ .

Lorsque  $G \curvearrowright E$  est un  $G$ -torseur on a donc qu'il existe  $\mathcal{L}_{E/S} \in \mathcal{D}_{\text{qch}}(\mathcal{O}_S)$

tel que  $\left\{ \begin{array}{l} \mathbb{L}_{E/S}^G = \pi^* \mathcal{L}_{E/S} \\ \text{si } E \text{ possède une section } E \downarrow_S \text{ alors } \mathcal{L}_{E/S} = \mathcal{I}^* \mathbb{L}_{E/S} \end{array} \right.$

\* En particulier, si  $G$  est un  $S$ -schéma en groupes plats de présentation finie

$$l_{G/S} := e^* \mathbb{L}_{G/S} \in \mathbb{D}_{\text{perf}}^{[-1,0]}(G_S)$$

et  $\mathbb{L}_{G/S} = \pi^* l_{G/S}$  où  $\pi: G \xrightarrow{e} S$

Def.  $l_{G/S} =$  Complexe de  $G_S$ -Lie  
de  $G_S$ -Lie

$l_{G/S}^r =$  Complexe de Lie

$$H^0(l_{G/S}) = \mathcal{C}_{G/S} = \text{faïtceau cohérent de } G_S\text{-modules}$$

On notera  $m_G = \mathcal{K}^{-1}(l_{G/S})$

\* Si  $0 \rightarrow G_1 \rightarrow G_2 \xrightarrow{f} G_3 \rightarrow 0$

est une suite exacte de  $S$ -schémas en groupes plats de présentation finie, puisque  $G_2$  est un  $G_1$ -torseur au dessus de  $G_3$  et  $G_1/S$  est symplectique,  $f$  est symplectique.

Il y a donc un triangle exact de complexes parfaits associé à

$$\begin{array}{ccc} G_2 & \xrightarrow{f} & G_3 \\ & \searrow & \downarrow \\ & & S \end{array}$$

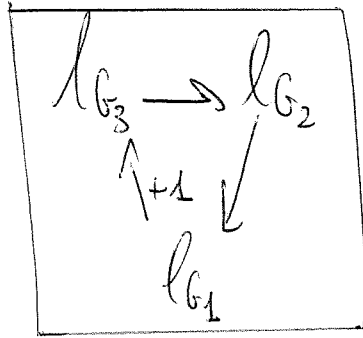
$$\begin{array}{ccc} f^* \mathbb{L}_{G_3/S} & \rightarrow & \mathbb{L}_{G_2/S} \\ \uparrow +1 & \swarrow & \downarrow \\ & & \mathbb{L}_{G_2/G_3} \end{array}$$

Appliquant  $e_{G_2}^*$  on en déduit un triangle dans  $\mathbb{D}_{\text{perf}}^{[-1,0]}(G_S)$

$$\begin{array}{ccc} l_{G_3/S} & \rightarrow & l_{G_2/S} \\ \uparrow +1 & \swarrow & \downarrow \\ & & l_{G_2/G_3} = e_{G_2}^* \mathbb{L}_{G_2/G_3} \end{array}$$

l'argument que précédemment dans la liste





qui induit une suite exacte longue

$$[ 0 \rightarrow M_{G_3} \rightarrow M_{G_2} \rightarrow M_{G_1} \rightarrow C_{G_3} \rightarrow C_{G_2} \rightarrow C_{G_1} \rightarrow 0 ]$$

Rem. \* Supposons  $G/S$  lisse sur un ouvert schématiquement dense de  $S'$ .

Alors  $H^{-1}(l_{G/S}) = 0$ . En effet, localement sur  $S'$ ,  $l_{G/S} = \begin{bmatrix} \mathcal{E}^{-1} & \rightarrow & \mathcal{E}^0 \end{bmatrix}$   
 $\uparrow \quad \uparrow$   
 loc. libres  
 de rg. fini

si  $h^0$  est nul sur un ouvert schématiquement dense il est donc nul.

\* Ainsi si  $0 \rightarrow G_1 \rightarrow G_2 \rightarrow G_3 \rightarrow 0$  est une suite exacte de groupes plats de prés-finie lisses sur un ouvert schématiquement dense il y a une suite exacte

$$0 \rightarrow C_{G_3} \rightarrow C_{G_2} \rightarrow C_{G_1} \rightarrow 0$$

\* Si  $S$  est mathématisé la condition précédente se réduit en  $\forall s \in S'$  qui est le point générique d'une composante irréductible ou immergée de  $S'$ , i.e.  $\text{prof}(C_{G,s}) = 0$ ,  $G_s$  est un  $\mathbb{Z}(s)$ -schéma en groupes lisse

\* Par exemple, si  $A$  est un anneau  $p$ -adiquement complet sans  $p$ -torsion tout

$S$ -schéma en groupes plat de présentation finie /  $\text{Spec}(A)$  satisfait la condition précédente.

\* On peut définir le rang d'un complexe parfait comme fonction localement constante,

$$\text{Rang}([\mathcal{E}^{-1} \rightarrow \mathcal{E}^0]) = \text{Rang}(\mathcal{E}^0) - \text{Rang}(\mathcal{E}^{-1})$$

$\swarrow \quad \nearrow$   
 loc. libres  
 de rg. fini

Alors,  $\boxed{\text{Rang}(\mathcal{L}_{G/S}) = \dim(G/S)}$

\* Si  $\begin{array}{ccc} T_0 & \xrightarrow{f} & G \\ \downarrow & \nearrow & \downarrow \text{plat de pres. finie} \\ T & \xrightarrow{\quad} & S \end{array}$   $T_0 \hookrightarrow T$  est un idéal défini par un idéal de carré nul  $\mathcal{I} \subset \mathcal{O}_T$   
 $T_0 \xrightarrow{u} S$  est le morphisme structural

obstruction à relever  $\in H^1(T_0, f^* \mathcal{L}_{G/S}^{\vee} \otimes_{\mathcal{O}_{T_0}} \mathcal{I})$

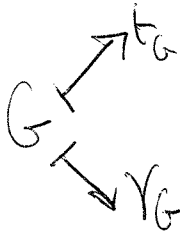
$$\left[ H^1(T_0, \underbrace{u^* \mathcal{L}_{G/S}^{\vee}}_{\mathcal{L}_{G/T_0}} \otimes_{\mathcal{O}_{T_0}} \mathcal{I}) \right]$$

~~Sketch of proof~~

$$H^1(T_0, \mathcal{L}_{G/T_0}^{\vee} \otimes_{\mathcal{O}_{T_0}} \mathcal{I})$$

Notons  $t_G = H^0(\mathcal{L}_G^{\vee})$  et  $V_G = H^1(\mathcal{L}_G^{\vee})$

$\downarrow$   
 $\mathbb{A}^1$



est covariante et si  $1 \rightarrow G_1 \rightarrow G_2 \rightarrow G_3 \rightarrow 1$

est exacte alors

$$0 \rightarrow t_{G_1} \rightarrow t_{G_2} \rightarrow t_{G_3} \rightarrow \gamma_{G_1} \rightarrow \gamma_{G_2} \rightarrow \gamma_{G_3} \rightarrow 0$$

l'est également.

\* Notons  $C = \begin{matrix} \vee \\ G_{T_0/T_0} \end{matrix} \otimes \mathcal{I} \in \mathbb{D}_{\text{coh}}^{[0,1]}(G_{T_0})$

Il y a une suite exacte

~~0 \rightarrow H^1(T\_0, C) \rightarrow H^1(T\_0, \mathcal{I}) \rightarrow H^0(T\_0, \mathcal{I}^2(C)) \rightarrow H^2(T\_0, \mathcal{I}^0(C))~~

$$0 \rightarrow H^1(T_0, \mathcal{I}^0(C)) \rightarrow H^1(T_0, C) \rightarrow H^0(T_0, \mathcal{I}^1(C)) \rightarrow H^2(T_0, \mathcal{I}^0(C))$$

~~Donc, si  $T_0$  est affine~~

$$H^1(T_0, C) \cong H^0(T_0, \mathcal{I}^1(C)) = H^0(T_0, u^* \gamma_G) \otimes_{\Gamma(T_0, \mathcal{O}_{T_0})} H^0(T_0, \mathcal{I})$$

$\downarrow$   
 où  $u: T_0 \rightarrow S$   
 obstruction que l'on regarde

\* De cela on déduit le critère de lissité formelle suivant:

Prop. Soit  $G_1 \rightarrow G_2 \rightarrow \dots \rightarrow G_i \rightarrow \dots$  un système inductif de  $S$ -schémas en groupes plats de présentation finie. Soit  $G = \varinjlim_{i \geq 1} G_i$  comme faisceau  $\text{ffl}$ . Abs, si  $\varinjlim_{i \in \mathbb{N}} \gamma_{G_i} = 0$ ,  $G$  est formellement lisse.

# Calcul du Complexe de G-Lie des schémas en groupes plats finis

\* Théorème (Raynaud): Soit  $G$  un  $S$ -schéma en groupes commutatif plat de présentation finie. Alors, localement sur  $S'$  il existe un schéma abélien projectif  $A$  et un plongement  $G \hookrightarrow A$ .

Idee de la preuve: Soit  $s \in S'$ , on peut supposer  $S = \text{Spec}(C_{S,s})$ .

Notons  $b = k(s)$ ,  $\text{Spec}(b) \rightarrow S'$ .

Il suffit de construire un  $G^D$ -torseur  $Y \rightarrow X$  où  $X$  est une  $S$ -courbe projective lisse et  $\Gamma(Y_b, \mathcal{O}_{Y_b}) = b$

$\downarrow$   
 $X$

où  $Y_b = \text{intersection complète de dim} > 0$  globalement dans un  $\mathbb{P}^n$ .

En effet un tel toseur fournit un morphisme

$$u: G = \underline{\text{Hom}}(G^D, G_m) \longrightarrow \text{Pic}(X/S)$$

$$f \longmapsto Y \begin{matrix} \xrightarrow{G^D} \\ \wedge \\ G_m \end{matrix}$$

$G_m$ -torseur obtenu par contraction

Puisque  $\text{Pic}(X/S)/\text{Pic}^0(X/S) = \mathbb{Z}$  et  $G$  est de torsion (annulé par  $|G|$ )

$$u: G \longrightarrow \text{Pic}^0(X/S)$$

le mono  $\Leftrightarrow$  immersion fermée. Soit  $H = \text{ber}$ , un S-schéma en groupes

fermé dans  $G$ . D'après le lemme de Nagayama,  $H$  trivial  $\Leftrightarrow H_b = \text{ber}(u_b)$  trivial

(presque certainement plat)

$\rightarrow S = \text{Spec}(\text{anneau local})$

où  $u_b : G_b \rightarrow \text{Pic}(X_b)$

$Y_b \supset G_b^D \xrightarrow{\downarrow} X_b$  Par définition de  $u_b$ ,  $Y_b \wedge^{G_b^D} H_b^D \approx X_b \times H_b^D$   
 (où  $H_b \subset G_b$  induit  $G_b^D \rightarrow H_b^D$ )

D'après le théorème de quotient par une relation d'éq. finie et plate de Grothendieck,

$$\Gamma(Y_b \wedge^{G_b^D} H_b^D, \mathcal{O}) = \left( \Gamma(Y_b, \mathcal{O}_{Y_b}) \otimes_b \Gamma(H_b^D, \mathcal{O}_{H_b^D}) \right)^{G_b^D}$$

$\underbrace{\Gamma(Y_b, \mathcal{O}_{Y_b})}_{(Y_b \times H_b^D)/G_b^D}$       $\underbrace{\otimes_b \Gamma(H_b^D, \mathcal{O}_{H_b^D})}_{\substack{\text{par hypothèse} \\ = \mathfrak{b}}}$

$\uparrow$       $\uparrow$       $\uparrow$   
 action diagonale      $\Gamma(H_b^D, \mathcal{O}_{H_b^D})^{G_b^D} = \mathfrak{b}$

Or ceci est égal à  $\Gamma(X_b, \mathcal{O}_{X_b}) \otimes_b \Gamma(H_b^D, \mathcal{O}_{H_b^D})$ . Donc  $\Gamma(H_b^D, \mathcal{O}_{H_b^D}) = \mathfrak{b}$

$\Rightarrow H_b^D = \{0\} \Rightarrow H_b = \{0\}$ .



schéma ab. projectif

\* Pour un tel plongement  $G \subset \widetilde{A}$ ,  $B = A/\mathfrak{a}$  est un schéma abélien

$$0 \rightarrow \mathfrak{a} \rightarrow A \xrightarrow{f} B \rightarrow 0 \quad f = \text{logarithme de noyau } \mathfrak{a}.$$

$$h_G \simeq \left[ \begin{array}{ccc} \mathcal{O}_G & \xrightarrow{f^*} & \mathcal{O}_A \\ -1 & & 0 \end{array} \right]$$

\* Résolution lisse canonique :  $\begin{array}{c} G \\ \downarrow \\ S \end{array}$  un  $S$ -schéma en gp. commutatif fini localement libre.

\* Résolution canonique de faisceaux  $\mathcal{F}$

$$\left\{ \begin{array}{l} \mathcal{Z}[G \times G] \rightarrow \mathcal{Z}[G] \rightarrow \mathfrak{a} \rightarrow 0 \\ [g_1, g_2] \mapsto [g_1 + g_2] - [g_1] - [g_2] \\ [g] \mapsto g \end{array} \right.$$

où si  $X = S$ -schéma,  $\mathcal{Z}[X] =$  faisceau  $\mathcal{F}$  de groupes ab. lg.  $\forall \mathcal{F} =$   $\mathcal{F}$   $\mathcal{F}$  de groupe ab.

$$\text{Hom}_{\text{groupe}}(\mathcal{Z}[X], \mathcal{F}) = \text{Hom}(X, \mathcal{F}) = \mathcal{F}(X).$$

$$= \text{faisceau associé au préfaisceau } \mathcal{U} \mapsto \mathcal{Z}[X(\mathcal{U})]$$

\* Si  $f: X \rightarrow S$ ,  $\text{Hom}(\mathcal{Z}[X], \mathcal{G}_m) = f_* \mathcal{G}_m$ . Lorsque  $f$  est fini localement libre

$$f_* \mathcal{G}_m = \underbrace{\text{Res}_{X/S}}_{\text{c. l. l. ou données lisse}} \mathcal{G}_m \quad \text{restriction des scalaires à } \mathbb{Z}$$

\* Appliquant  $\underline{\text{Hom}}(-, G_m)$  à la résolution précédente de  $G^D$  et utilisant  $G = (G^D)^D$  on obtient une résolution

$$0 \rightarrow G \rightarrow \text{Res}_{G/S} G_m \rightarrow \text{Res}_{G^D \times_S G^D/S} G_m$$

$\swarrow \quad \nearrow$   
 $S$ -schémas en groupes lisses

Si  $U$  est un  $S$ -schéma, évaluée sur  $U$  il s'agit de la résolution morphismes de faisceaux d'ensemble de schémas

$$0 \rightarrow G(U) \rightarrow \text{Hom}_U(G_U^D, G_m) \rightarrow \text{Hom}_U(G_U^D \times G_U^D, G_m)$$

$\text{Hom}_{\text{groupes}}(G_U^D, G_m) \quad \Gamma(U, G_U^D)^{\times} \quad \Gamma(U, G_U^D \times G_U^D)^{\times}$

$$f \longmapsto [(g_1, g_2) \mapsto f(g_1 + g_2) - f(g_1) - f(g_2)]$$

\*  $0 \rightarrow G \rightarrow G' \rightarrow G'' \rightarrow 0$  où  $G' = \text{Res}_{G/S} G_m$  et  $G'' = G'/G \hookrightarrow \text{Res}_{G^D \times_S G^D/S} G_m$

$\swarrow \quad \nearrow$   
 lisses

Alors  $\mathcal{L}_{G/S} \simeq \left[ \begin{array}{ccc} \omega_{G''} & \rightarrow & \omega_{G'} \\ -1 & & 0 \end{array} \right]$  } description globale de  $\mathcal{L}_{G/S}$  sur tout  $S$  contrairement à celle de Raynaud qui est locale sur  $S$ .

# Formule de dualité de Grothendieck

Utilisant la résolution précédente +  $\mathrm{Hom}(G, \underline{\mathcal{R}}) \simeq \mathrm{Hom}_{\mathcal{O}_S}(\omega_{G^D}, \underline{\mathcal{R}}) + \mathrm{Ext}^1(G, \mathcal{O}_G) = 0$   
 on montre (cf. Mazur-Messing, appendice)

$$\left[ \begin{array}{l} \text{Prop (Groth.) : } \tau_{\leq 1} \mathrm{RHom}(G, \underline{\mathcal{R}}) \simeq \mathrm{RHom}_{\mathcal{O}_S}(\omega_{G^D}, \underline{\mathcal{R}}) \\ \text{dans } \mathbb{D}_{\mathrm{qch}}^+(\mathcal{O}_S) \text{ ou } \underline{\mathcal{R}} = \mathcal{O}_S\text{-module quasi-cohérent} \\ \text{et } \underline{\mathcal{R}} = \text{faisceau fppf associé.} \end{array} \right]$$

$$\Rightarrow \tau_{\leq 1} \mathrm{RHom}(G, \mathcal{O}_a) \simeq \mathrm{RHom}_{\mathcal{O}_S}(\omega_{G^D}, \mathcal{O}_a) = \omega_{G^D}^\vee$$

\* Si  $G$  possède une résolution  $0 \rightarrow G \rightarrow A \rightarrow B \rightarrow 0$   
 où  $A$  et  $B$  sont des schémas abéliens alors,

$$\underline{\mathrm{Hom}}(A, \mathcal{O}_a) = 0 \text{ et } \mathrm{Ext}^1(A, \mathcal{O}_a) = \mathrm{Lie}(\underbrace{\mathrm{Ext}^1(A, \mathcal{O}_a)}_{A^\vee}) = \mathrm{Lie}(A^\vee)$$

↑ schéma abélien dual

$$\Rightarrow \tau_{\leq 1} \mathrm{RHom}(A, \mathcal{O}_a) \simeq \mathrm{Lie}(A^\vee)[-1]$$

\* Appliquant  $\mathrm{Hom}(-, \mathcal{O}_a)$  à la suite exacte  $0 \rightarrow G \rightarrow A \rightarrow B \rightarrow 0$  on obtient  $(\mathrm{Hom}(A, \mathcal{O}_a) = \mathrm{Hom}(B, \mathcal{O}_a) = 0)$   
 et  $\mathrm{Ext}^1(G, \mathcal{O}_a) = 0$

$$0 \rightarrow G^D \rightarrow B^\vee \rightarrow A^\vee \rightarrow 0 \quad \text{dualisée} \Rightarrow \omega_{G^D} \simeq \begin{bmatrix} \omega_{A^\vee} & \rightarrow & \omega_{B^\vee} \\ \downarrow & & \downarrow \\ -1 & & 0 \end{bmatrix}$$

$$\tau_{\leq 1} \mathrm{RHom}(G, \mathcal{O}_a) \simeq \begin{bmatrix} \mathrm{Lie} B^\vee & \rightarrow & \mathrm{Lie} A^\vee \\ \downarrow & & \downarrow \\ 0 & & +1 \end{bmatrix}$$

} Cohérent  
 avec la  
 formule  
 précédente

est